

Вторични кварцити от североизточната периферия на Боровишкия вулкански район. II. Минералогия и зоналност

Ангел Кунов

Kunov, A. 1994. Secondary quartzites from the northeastern periphery of the Borovitsa volcanic area. II. Mineralogy and zoning — *Geochem., Mineral. and Petrol.*, **29**, 17-36.

Similar to all metasomatic formations, the secondary quartzites are also characterized by definite typomorphic minerals. In the area studied they include alunite, diaspor, kaolinite, dickite, sericite and pyrophyllite. Their characterization covers their main diagnostic features and occurrence patterns.

An analysis of the compositional variations in the metasomatic rocks based on a chemical balance over the entire metasomatic column has permitted to quantitatively evaluate the differential mobility of individual components.

The metasomatic products show both horizontal and vertical zonation without any pronounced differences between each other. A notable feature is the almost abrupt transition from secondary quartzites to slightly altered or unaltered volcanics in the local zoning patterns near Susam and Svetlina. Certain more complex patterns in the metasomatic zonation in the area can be interpreted as telescoped formations.

Key words: alunite, diaspor, kaolinite, dickite, sericite, pyrophyllite, differential mobility of components, metasomatic zoning.

Address: Bulgarian Academy of Sciences, Geological Institute, 1113 Sofia.

Минералогия

Както всяка метасоматична формация, така и вторичните кварцити се отличават с определени типоморфни минерали (Наковник, 1964). За вторичните кварцити от североизточната част на периферията на Боровишкия вулкански район основни минерали са: алунит, диаспор, каолинит, дикит, серицит, пирофилит. Отбелязаните корунд (Рашков, 1962) и андалузит (Радонова, 1973) не се приемат за сигурни, тъй като не са приведени никакви диагностични данни и не се потвърждават поне от досегашните изследвания. Все още няма преки доказателства и за топаза (Радонова, 1973).

Диаспор

Среща се във всички участъци, но за тези при с. Сусам, с. Светлина и рудник Габрово е второстепенен минерал. За Спахиевското рудно поле диаспорът е описан най-напред от Рашков (1962), като приведените данни са първи за България.

Диаспорът е основен минерал за диаспоровите кварцити (табл. I. 1), в които количеството му достига до 60%. Освен с кварц често асоциира със серицит, а в по-малка степен с алунит, пирофилит и глиnestи минерали. Той се среща в разнообразни форми: идиоморфни късо- и дългопризматични (до 0,8 см), плочести и пръстести кристали. Обикновено този тип диаспор запълва и гнезда и прожилки и е бистър. Другият тип образува сред дребнозърнестия кварц агрегати от дребни (до 0,2 mm) иглести или късопризматични кристали, често замътнени от микровключения.

Диаспорът е безцветен, кафеникав или жълтенников, със стъклен блесък. В шлифите е безцветен, сив, жъlt, розов, червенников, по-рядко син, кафяв, зелен. По рентгеноструктурни ($I/d\text{\AA}$: 10/3,95, 7/2,53, 9/2,30, 7/2,12, 8/2,07, 9/1,628, 7/1,479, 7/1,372) и химични (табл. 1) данни отговаря на цитираните в литературата (Selected . . ., 1974). Според Gout, Jaubertie (1976) съществуват две разновидности диаспор, които се срещат в природата в различни съотношения. Едната разновидност е лошо кристализирана и е с ендогенен ефект при 460°C. ДТА на наши образци показва, че в тях диаспорът е с ендоефект между 560 и 600°C.

Кварц

Кварцът и другите модификации на SiO_2 са много характерни за вторичните кварцити, като разпределението и съдържанието им за отделните фации е различно. Кварцът е постоянен минерал с най-голямо количество в монокварцитите и диаспорсъдържащите кварцити. Той замества порfirните минерали, образува агрегати с други типоморфни минерали, развива се по основната маса или запълва гнезда и оформя прожилки. Размерите му варират от скритокристални до 1 mm. Понякога заедно с кварца се наблюдава и халцедон, най-често в ивици в монокварцитите в уч. Светлина. Опал се среща сравнително често, но най-характерен е за опалитите и алунитовите опалити при с. Светлина и с. Сусам. Обикновено е изотропен, но понякога просветлява, вероятно от образуването на супергени глиnestи продукти. Преобладава сферолитовата структура. Опалът се развива повсеместно по вулканските скали, като само понякога при почти пълна опализация се съхранява първичната структура. Съотношението му с кварц в смисъл на съдържание е обратнопропорционално. В някои случаи (уч. Светлина, уч. Сусам и уч. Пилашево) заедно с опала се установяват кристобалит и тридимит по рентгено-дифрактометрични данни. Единствено залага в уч. Светлина беше наблюдаван кристобалит ($I/d\text{\AA}$: 5/4,51, 110/4,06, 6/2,49) в празнина под формата на бели сфери с големина до 1—2 mm.

Каолинит и дикит

Двата минерала са широко разпространени във всички участъци. Характерни основни минерали за зоните на аргилизация, те участват и в изграждането на вторичните кварцити. Като се изключи дикитът, за който се приема хидротермален произход (Радонова, 1968), каолинитът и монтморилонитът са основни минерали и за супергенезата. Съдържанието на минералите е различно — от малки примеси до 20 %. Често присъстват в алунитовите кварцити, но в редица случаи (западно от с. Спахиево, югоизточно от с. Сърница, в местн. Одуналъка до с. Пилашево и др.) изграждат неиздържани зони от дикитови кварцити.

Каолинитът (табл. I.2.) и дикитът (табл. I.3.) заместват порfirни минерали заедно с алунит, диаспор или серицит, запълват гнезда и малки прожилки. Имат почти еднакви коефициенти на лъчепречупване $N_g = 1,560 \div 1,564$ и $N_p = 1,554 \div 1,558$. Каолинитът в шлифите е безцветен, дребнолюспест, докато дикитът е сравнително по-едролюспест — достига до 0,3 mm и оформя типични срастъци. Рентгеноструктурните данни за каолинита ($I/d\text{\AA}: 10/7,1, 10/3,50, 9/2,32, 9/1,48$) и дикита ($I/d\text{\AA}: 8/7,52, 10/7,05, 8/4,44, 10/3,56, 9/2,32$) отговарят на литературните (Selected . . ., 1974). По термичните изследвания на вторичните кварцити и аргилизити с дикит и каолинит се установява, че има известна малка разлика в ендоефектите на двата минерала — при дикита той се проявява по-късно при температура около 650—690°C.

Пирофилит

Установен е в сондажи в местн. Рамаданска чука и по североизточния контакт на Сърнишката интрузия на дълбочина съответно 320—360 m и 10—50 m. Асоциира с диаспор, серицит, алунит и пирит при сложни и не всяко ясни взаимоотношения. В първия от случаите оформя главно прожилки (до 2 mm), в средата на които обикновено е отложен пирит (табл. I.4.). Прожилките пресичат кварц-сериицитова маса с гнезда от диаспор, пирофилит и пирит. Наблюдават се и прожилки от алунит с малко кварц и пирофилит, взаимно пресичащи се с пирофилитовите прожилки. С излизането от тази зона с обилно развитие на пирофилит и намаляването на неговото количество се появява и малко дикит.

Пирофилитът е безцветен до бял, със слаб блъсък, с много ниска твърдост. В микроскопски препарати е дребнолюспест. Коефициентите на лъчепречупване са $N_g = 1,602$ и $N_p = 1,558$. Рентгенографските данни ($I/d\text{\AA}: 7/4,48, 10/3,07, 8/2,43, 7/1,501$) отговарят на литературните (Selected . . ., 1974). Термичната криза на вторичен кварцит с диаспор и пирофилит регистрира плавен ендоефект на пирофилита при 700°C. Химичният състав на пирофилита (табл. I) е подобен на този от Асарел (Радонова, Стефанов, 1974), както и на цитираните от Дир и др. (1966).

*Серицит**

Серицитът е един от разпространените минерали, сравнително слабо застъпен само в участъците Сусам и Светлина. Той е основен минерал за серицитовите вторични кварцити, кварц-сериицитовия фациес и някои

* Като серицит се разглежда дребнолюспестата бяла слюда (Омельяненко и др., 1986).

Таблица 1

Химичен състав на минерали (в тегловни проценти)

Компо-ненти	Диаспор		Пирофилит		Серицит		
	1	2	3.	4	5	6	7
SiO_2	—	—	66,98	64,32	47,22	44,85	49,83
Al_2O_3	76,11	76,70	29,29	30,45	33,63	33,60	35,83
Fe_2O_3	—	—	0,17	—	1,34	1,90	0,69
MgO	—	—	—	—	0,51	3,20	0,78
CaO	—	—	0,12	—	—	0,28	0,31
Na_2O	—	—	0,17	—	0,26	0,62	0,57
K_2O	—	—	0,14	—	9,60	8,72	7,61
P_2O_5	—	—	—	—	0,28	—	—
SO_3	—	—	—	—	—	—	—
H_2O	23,89	23,30	3,13	5,23	7,16	5,83	4,48

Анализите са извършени от О. Димитров, Хр. Нейков; Microprobe JEOL — 733 Кристалохимични формули

пирофилит (анализ 4) $\text{Al}_{2,12}\text{Si}_{4,09}\text{O}_{10,72}(\text{OH})_{1,28}$

серцицит (анализ 6) $(\text{K}_{0,73}\text{Na}_{0,08})(\text{Fe}_{0,09}\text{Mg}_{0,03}\text{Al}_{1,59})(\text{Si}_{2,97}\text{Al}_{1,03})(\text{O}_{9,42}\text{OH}_{0,58})(\text{OH})_{2,58}$

каолинит (анализ 9) $\text{Si}_{3,90}\text{Al}_{3,58}\text{O}_{9,60}(\text{OH})_{8,40}$

алунит (анализ 13) $(\text{K}_{0,59}\text{Na}_{0,14}\text{Ca}_{0,06})(\text{Al}_{2,92}\text{Fe}_{0,02})(\text{S}_{1,84}\text{O}_{7,42})(\text{OH})_{6,58}$

други фации на пропилитите, за околовилните изменения. Развива се по фелдшпатите, фемичните минерали и основната маса под формата на финолюспести и ветрилообразни агрегати. По-рядко се наблюдава в алунитовите и диаспоровите кварцити.

Серицитът е бял до зеленикав, с бисерен блъсък. Данните от извършените изследвания (рентгеноструктурни — $I/d\text{\AA}:8/7,32, 9/4,48, 10/2,57, 8/1, 498$; химични — табл. 1; оптични) са показателни за неговата близост със серицитите от други находища (Selected . . ., 1974; Омельяненко и др., 1986). По литературни данни той може да се образува в температурен интервал 100—500°C на различна дълбочина (даже на повече от 2000 m). От анализа на физикохимичните условия на образуване на серицитовите парагенези в нашите случаи се установява, че не се достигат високотемпературни условия на образуване (Кунов, 1987).

Алунит

Широко е разпространен в местн. Рамаданска чука, около вр. Чамлька, Гаджовска и Хайказова чука (с. Сърница), Св. Неделя (с. Сусам), местн. Ени курия и Курт тепе (с. Светлина). Участва в изграждането на алунитовите вторични кварцити като основен минерал (в някои случаи до 60—70%), а също така се съдържа и в преходните зони. Замества порfirни минерали, нерядко запълва гнезда, а понякога оформя и прожилки. В основната маса той е финолюспект и прораснал с кварц. Сравнително най-идиоморфен и с най-големи размери е в прожилки (до 0,4 mm). Алунитът е бял, бледорозов, жълтеникав. В шлифите обикновено е безцветен; оптически е едноосен положителен и с отрицателно удължение. Показателите на лъчепречупване за алунитите от различните находища са близки — $N_0=1,569 \pm 0,001$ и $N_e=1,589$. Според Радонова (1972) основно влияние върху коефициентите оказват алкалите и постоянството на коефициентите се дължи на високото отношение на $\text{K}_2\text{O}:\text{Na}_2\text{O}$, независимо от различното съдържание на желязо. По химичен състав както алунитите (табл. 1), така и алу-

Каолинит			Алунит			
8	9	10	11	12	13	14
46,43	46,52	48,20	—	—	—	—
37,84	36,20	36,51	32,74	37,78	37,91	35,50
3,67	—	0,34	—	0,27	0,27	2,10
—	—	—	—	—	—	—
—	—	0,08	—	0,77	0,93	0,65
—	—	—	—	0,87	1,10	0,80
—	—	0,25	9,79	6,75	7,03	8,50
—	—	—	2,03	1,57	—	—
—	—	—	43,33	37,05	37,64	37,21
12,06	17,28	14,62	12,11	14,94	15,12	15,24

нитовите кварцити са с предимно калиев характер. Основните рентгеноструктурни данни за алунита са ($I/d\text{\AA}$: 7/4,90, 7/3,31, 10m/2,98, 8/1,897, 8/1,741).

Във всички находища алунитът се наблюдава в ромбоедричен (табл. I.5.) и пинакоидален хабитус (табл. I.6). Тъй като при ромбоедричния хабитус се развива ромбоедър {10.11}, кристалите имат псевдокубичен изглед. Според Набоко (1963) и Аверъянов (1965) в съвременните вулкански области тази разновидност се образува около вулканските кратери на дълбочина до 10—15 м. Радонова (1972) по собствени данни за Петелово (1969) и Песовец (1966) и данни на Велинов (1967) за Брезник предполага, че дълбочината на ромбоедричните и пинакоидалните хабитуси варира. Според Знаменский (1983) псевдокубичният алунит, който се образува на по-високо хипсометрично ниво, притежава по-ранен втори ендотермичен ефект спрямо плочестия алунит. Резултатите от нашите изследвания показват, че в повърхностни условия се образува главно ромбоедричен алунит, но за да бъде отличен от льовигита, е необходимо извършването на диференциално-термичен анализ, инфрачервена спектроскопия или химичен анализ (Асланян и др., 1976). В дълбочина, след зона на съвместно развитие на двата хабитуса алунит, се развива само пинакоидалният. Някои автори (Алуниты . . . , 1971) посочват, че преходът би трябвало да се осъществи от псевдооктаедрични кристали. Експерименталните изследвания у нас (Асланян и др., 1976) обосновават пространственото обособяване на двата типа хабитуса със строго определени физикохимични условия.

Един рядък случай на образуване на алунит в почти неизменени скали се наблюдава в района на с. Светлина. Алунитът се развива по слабо опализирани латити със запазени плагиоклази, биотит и реликти от пироксен. Той е псевдокубичен с размери до 0,4 mm. Навсякъде алунитът е в основната маса без никакви реакционни контакти с порфирите от плагиоклаз, биотит и пироксен.

Таблица 2

Участък „Сърница — Спахиево“. Изменение на химичния състав на вулканските скали

Компоненти	Тегловни %							Привнос —			
	1 327/447	2 276/388	3 429*	4 99*	5 48*	6 102a*	7 686/1	1—2	1—3	1—4	1—5
SiO ₂	54,62	55,87	57,40	62,66	47,69	70,72	95,56	+10,1	+23,3	+1,8	-1,2
TiO ₂	0,78	0,87	0,83	0,95	0,73	0,74	0,48	+0,3	+0,4	+0,1	+0,1
Al ₂ O ₃	15,27	18,17	18,11	22,85	18,84	19,01	0,78	+9,1	+12,0	+11,6	+14,3
Fe ₂ O ₃	3,29	2,57	1,73	0,74	0,56	2,63	0,48	-1,4	-3,2	-6,2	-6,2
FeO	2,76	2,86	—	—	—	—	0,84	+0,6	-6,5	-6,5	-6,5
MnO	0,16	0,06	0,05	—	—	—	—	-0,2	-0,2	-0,4	-0,4
MgO	4,19	3,12	0,50	0,01	—	—	0,65	-2,1	-8,5	-9,8	-9,8
CaO	4,55	3,12	0,87	1,10	1,52	1,15	0,31	-3,0	-8,4	-8,4	-6,6
Na ₂ O	4,94	3,64	0,12	0,16	0,55	0,05	0,03	-2,6	-11,3	-11,3	-10,1
K ₂ O	4,39	3,74	5,64	0,35	3,60	0,07	0,08	-1,1	+4,6	-9,6	-0,7
P ₂ O ₅	0,69	0,58	0,73	0,35	1,39	0,50	0,02	-0,2	+0,3	-0,9	+2,1
H ₂ O—	2,45	3,80	1,29	0,99	0,11	0,15	0,10	+3,7	-2,3	-3,7	-5,5
H ₂ O+	0,20	1,93	3,86	10,04	6,50	4,60	0,52	+4,3	+9,7	+20,4	+16,8
CO ₂	2,17	0,52	—	—	—	0,35	—	-3,8	-5,1	-5,1	-5,1
SO ₃	—	—	—	—	18,34	—	—	—	—	+48,9	—
S	—	0,04	8,79	—	—	—	—	+0,1	+23,2	—	—
Сума	100,46	100,89	99,92	100,20	99,83	99,97	99,85	-14,4	-52,3	-61,9	-52,1
Обемно тегло	2,36	2,50	2,64	2,08	2,66	2,40	2,58	+28,1	+73,2	+33,9	+82,2

Аналитик: М. Велинова

Забележка: 1 — слабо карбонатизиран латит; 2 — пропилитизиран латит (карбонаткварцит; 6 — диаспоров кварцит; 7 — монокварцит.

* — по данни на Радонова (1973).

Според експерименталните резултати на Кашкай (1972) алунитът се синтезира в широк температурен диапазон — до 500°C при pH от 0,8 до 5,3. Съвместното съществуване на алунит и опал предполага, че pH на настървите е <5. При това положение вероятното обяснение за запазеността да порfirната генерация следва да се търси в сравнителната отдалеченост от центровете на солфатарната дейност, в краткотрайното пропарване на скалите от газохидротермите.

Количествена оценка на изменениета на петрогенните компоненти при образуването на вторичните кварцити

Оценката на изменениета на веществения състав на скалите в процеса на образуване на вторичните кварцити е извършена на базата на химични анализи (табл. 2—8). Участък Габрово не е включен поради недостатъчни данни, а участъците Брястово и Пилашево по отношение на химизма са детайлizирани: южните им части са означени с индекс 1, а северните — с 2 (табл. 4, 5, 6, 7). Количественият баланс е проследен от изходните скали до най-силно изменените продукти. Изчисленията са направени по окисно-обемния метод на Линдгрен (популяризиран от Наковник, 1958) с

при образуването на вторични кварцити

износ

разлика в g		относителна разлика в %						
1—6	1—7	1	2	3	4	5	6	7
+41,5	+118,6	0	+7,9	+18,2	+1,4	-1,0	+32,3	+92,4
-0,1	-0,6	0	+17,6	+19,7	+7,6	+6,1	-3,1	-32,3
+9,8	-33,9	0	+25,5	+33,4	+32,2	+39,9	+27,2	-94,4
-1,4	-6,5	0	-17,6	-40,9	-80,1	-80,7	-18,3	-83,9
-6,5	-4,3	0	+9,3	-100,0	-100,0	-100,0	-100,0	-66,5
-0,4	-0,4	0	-60,4	-64,8	-100,0	-100,0	-100,0	-100,0
-9,8	-8,2	0	-21,5	-86,6	-99,8	-100,0	-100,0	-82,9
-7,9	-9,9	0	-27,7	-78,5	-78,6	-62,1	-74,2	-92,5
-11,5	-11,5	0	-22,3	-97,3	-97,1	-87,4	-99,0	-99,3
-10,1	-10,1	0	-10,1	+44,5	-93,0	-7,0	-98,4	-98,0
-0,4	-1,6	0	-11,3	+19,0	-55,2	+128,5	-25,9	-96,8
-5,4	-5,5	0	+63,6	-40,8	-64,3	-94,9	-93,7	-95,5
+10,6	+0,9	0	+917,9	+2070,6	+4335,9	+3586,2	+2250,4	+186,0
-4,3	-5,1	0	-74,7	-100,0	-100,0	-100,0	-83,5	-100,0
—	—	0	—	—	—	—	—	—
—	—	0	—	—	—	—	—	—
-57,8	-97,6							
+61,9	+119,5							

хлорит-серийтов фациес); 3 — кварц-серийтов фациес; 4 — дикитов кварцит; 5 — алунизов

отчитане на пористостта. За допълнение и сравнение са направени преизчисления по обемно-енергетичния метод (Казицин, Рудник, 1968). Липсата на достатъчно място не позволява прилагането на всички таблици, формули и диаграми на метасоматично изменените скали. Поради това освен посочените таблици се представят само пет диаграми (фиг. 1, 2, 3, 4, 5). От анализа на резултатите по изменението на химизма на хидротермално изменените скали в установената зоналност на всички участъци може да се даде следната обобщена количествена оценка за диференциалната подвижност на отделните компоненти:

SiO_2 — незначителни количествени изменения, дължащи се главно на износа на други компоненти. Значителното увеличение на SiO_2 при монокварцитите (отчасти при диаспоровите) е относително и се дължи на преминаването на Al_2O_3 от инертно в напълно подвижно състояние. Инертен компонент е през целия единен процес от хидротермални изменения на скалите.

Al_2O_3 — като SiO_2 , с износ при прехода в монокварцити (инертен компонент до този преход).

Fe_2O_3 — различни количествени изменения в (+) и (-), ясно изразени тенденции в поведението; увеличените количества маркират хематитизация.

FeO — рязко намалява при прехода пропилити — кварц-серийти и кварц-серийтов фациес — аргилизити. Това е преходът му от инертен в напълно подвижен компонент.

Таблица 3

Участък „Брястово“ 1 — Изменение на химичния състав на вулканските скали при

Компо-ненти	Тегловни %								Привнос —			
	1 367*	2 368*	3 375*	4 458/320	5 578/334	6 Рч 5	7 33*	8 313/428	1—2	1—3	1—4	1—5
SiO ₂	57,48	59,77	61,12	50,32	41,65	62,51	68,34	96,35	-19,4	-10,5	-30,8	-62,9
TiO ₂	0,68	0,78	0,75	0,93	0,70	0,67	1,23	0,55	-0,1	-0,1	+0,4	-0,3
Al ₂ O ₃	14,13	18,37	17,25	17,83	28,05	13,81	22,07	0,78	+3,4	+2,6	+5,6	+22,9
Fe ₂ O ₃	3,69	4,58	4,95	5,00	9,57	3,07	0,95	0,42	+0,4	+1,7	+2,3	+10,8
FeO	2,14	—	—	4,41	0,45	0,30	0,29	0,48	-5,7	-5,7	+5,0	-4,7
MnO	0,14	0,04	0,04	0,43	—	—	—	—	-0,3	-0,3	+0,7	-0,4
MgO	3,87	0,63	1,81	6,43	0,25	0,04	—	0,08	-8,9	-6,1	+5,3	-9,7
CaO	5,83	0,87	1,70	2,17	5,77	0,46	1,28	0,22	-13,5	-11,5	-10,2	-3,1
Na ₂ O	2,61	1,95	0,80	0,32	0,25	0,35	0,10	0,10	-2,6	-5,1	-6,1	-6,4
K ₂ O	6,04	8,46	8,80	2,91	5,42	2,43	0,12	0,12	+2,8	+4,4	-9,0	-4,4
P ₂ O ₅	0,79	0,60	0,78	1,25	0,68	0,75	0,58	0,06	-0,8	-0,3	+0,9	-0,6
H ₂ O—	0,67	1,10	0,53	1,07	0,40	0,15	0,08	0,48	+0,7	-0,5	+0,8	-0,9
H ₂ O+	1,74	2,99	1,34	6,76	3,25	4,53	5,20	—	+2,0	-1,5	+11,7	+2,4
CO ₂	0,07	—	—	—	—	—	—	—	-0,2	-0,2	+0,2	-0,2
SO ₃	—	—	—	—	3,47	10,63	—	—	—	—	—	+7,5
S	—	—	—	1,05	—	—	—	—	—	—	+2,5	—
Сума	99,28	100,14	99,87	100,88	99,91	99,70	100,24	99,64	-51,5	-41,8	-56,1	-93,6
									+9,5	+8,7	+35,4	+43,5
Обемно тегло	2,65	2,23	2,32	2,44	2,15	2,34	2,17	2,55				

Аналитик: М. Велинова

Забележка: 1 — едропорфирен латит (слабо карбонатизиран и хлоритизиран); 2 — серицит-албитов фациес; 4 — аргилит; 5 — серицит-диаспор-пиофилитов кварцит+алунит;

* по данни на Радонова (1973).

Таблица 4

Участък „Брястово“ — 2

Изменение на химичния състав на вулканските скали при образуването на вторичните

Компо-ненти	Тегловни %							Привнос —			
	1 130/156	2 119/138	3 138/163	4 203/268	5 258/353	6 113/124	7 122	1—2	1—3	1—4	
SiO ₂	57,46	58,87	65,74	69,02	61,40	58,15	96,42	-18,1	+4,8	+9,1	
TiO ₂	0,60	0,49	0,42	0,54	0,47	0,46	0,73	-0,5	-0,6	-0,3	
Al ₂ O ₃	16,20	14,05	14,55	18,15	14,77	14,25	0,05	-10,8	-8,0	-0,4	
Fe ₂ O ₃	4,67	3,74	3,51	1,76	7,30	3,49	0,87	-3,8	-3,9	-8,1	
FeO	1,44	2,01	1,14	0,22	0,43	0,72	0,86	+0,7	-1,1	-3,2	
MnO	0,14	0,27	0,20	—	—	—	—	+0,2	+0,1	-0,4	
MgO	3,42	1,97	0,70	0,06	0,10	—	—	-4,5	-7,3	-8,8	
CaO	4,80	4,49	1,17	0,74	0,99	0,28	0,10	-2,5	-9,8	-10,8	
Na ₂ O	2,80	0,95	1,30	0,10	0,20	0,42	0,07	-5,2	-4,2	-7,1	
K ₂ O	5,46	5,10	4,64	0,14	0,75	3,47	0,03	-2,8	-3,3	-13,9	
P ₂ O ₅	0,68	0,80	0,44	0,88	1,61	0,69	0,05	+0,02	-0,7	+0,2	
H ₂ O—	0,56	1,98	1,51	0,37	0,35	0,11	0,14	+3,0	+2,1	-0,6	
H ₂ O+	1,76	3,12	4,59	7,93	7,24	5,50	0,43	+2,4	+6,2	+13,7	
CO ₂	0,10	2,00	—	—	—	—	—	+4,2	-0,3	-0,3	
SO ₃	—	—	—	—	4,41	12,32	—	—	—	—	
S	0,02	0,31	—	—	—	—	—	+0,6	-0,05	-0,05	
Сума	100,11	100,15	99,91	99,91	100,02	99,86	99,75	-48,2	-39,25	-53,95	
								+11,12	+13,2	+23,0	
Обемно тегло	2,61	2,24	2,35	2,30	2,44	2,26	2,54				

Аналитик: М. Велинова

Забележка: 1 — латит; 2 — пропилитизиран латит (хлорит-карбонатов фациес); 3 — кварцит; 7 — монокварцит.

образуването на вторични кварцити

износ

разлика в g			относителна разлика в %							
1—6	1—7	1—8	1	2	3	4	5	6	7	8
—5,8	—4,6	+94,0	0	—12,7	—6,9	—20,2	—41,2	—3,8	—3,0	—61,6
—0,2	—0,9	—0,4	0	—3,7	—3,4	+24,7	—16,5	—12,8	+47,6	—22,0
—5,1	+10,3	—35,5	0	+9,1	+6,9	+15,0	+61,0	—13,5	+27,4	—94,7
—2,6	—7,7	—8,7	0	+4,2	+17,4	+23,5	+110,3	—26,4	—79,0	—89,0
—5,0	—5,1	—4,5	0	—100,0	—100,0	+87,9	—82,9	—87,6	—88,9	—78,4
—0,4	—0,4	—0,4	0	—76,0	—75,0	+180,0	—100,0	—100,0	—100,0	—100,0
—10,2	—10,3	—10,1	0	—86,3	—59,0	+51,5	—94,8	—99,1	—100,0	—98,0
—14,4	—12,7	—14,9	0	—87,5	—74,5	—66,1	—19,7	—93,0	—82,1	—96,4
—6,1	—6,7	—6,7	0	—37,3	—73,2	—88,8	—92,2	—88,1	—96,9	—96,3
—10,3	—15,8	—15,7	0	+17,6	+27,6	—56,1	—27,2	—64,4	—98,4	—98,1
—0,3	—0,8	—2,0	0	—36,2	—13,5	—44,2	—30,2	—16,0	—40,1	—95,1
—1,4	—1,6	—1,6	0	+37,8	—30,7	+45,6	—51,6	—80,2	—90,3	—91,4
+6,0	+6,6	—3,4	0	+44,2	—32,6	+254,2	+51,5	+130,3	+143,8	—73,4
—0,2	—0,2	—0,2	0	—100,0	—100,0	—100,0	—100,0	—100,0	—100,0	—100,0
+25,0	—	—	0	—	—	—	—	—	—	—
—	—	—	0	—	—	—	—	—	—	—
—62,0	—65,9	104,1								
+31,0	+17,8	+94,0								

пропилитизиран латит (серицит-хлорит-албитов фациес); 3 — пропилитизиран латит (кварц-алунитов кварцит; 7 — диаспоров кварцит; 8 — монокварцит.

кварцити

износ

разлика в g			относителна разлика в							
1—5	1—6	1—7	1	2	3	4	5	6	7	
—0,02	—18,2	+95,7	0	—12,1 ¹	+3,2	+6,1	—0,01	—12,1	+63,9	
—0,4	—0,5	+0,3	0	—29,9	—36,8	—20,5	—26,7	—33,4	+18,8	
—6,2	—10,0	—42,1	0	—25,6	—19,0	—1,1	—14,7	—23,6	—99,7	
+5,6	—4,3	—10,0	0	—31,3	—32,2	—66,7	+46,3	—35,1	—81,8	
—2,7	—2,1	—1,6	0	+19,7	—28,6	—86,5	—72,1	—56,6	—41,7	
—0,4	—0,4	—0,4	0	+65,4	+28,9	—100,0	—100,0	—100,0	—100,0	—100,0
—8,7	—8,9	—8,9	0	—50,6	—81,5	—98,4	—97,3	—100,0	—100,0	—100,0
—10,1	—11,9	—12,3	0	—19,7	—78,0	—86,4	—80,7	—94,9	—98,0	
—6,8	—6,3	—7,1	0	—70,9	—58,1	—96,8	—93,3	—87,0	—97,6	
—12,4	—6,4	—14,2	0	—19,9	—23,3	—97,7	—87,1	—44,8	—99,5	
+2,1	—0,2	—1,6	0	+0,9	—41,6	—14,3	+121,5	—11,9	—92,8	
—0,6	—1,2	—1,1	0	+203,3	+143,3	—41,7	—41,5	—82,9	—75,6	
+13,1	+7,9	—3,5	0	+52,1	+135,3	+297,8	+284,9	+171,3	—76,1	
—0,3	—0,3	—0,3	0	+1615,8	—100,0	—100,0	—100,0	—100,0	—100,0	—100,0
+10,8	+27,9	—	0	—	—	—	—	—	—	—
—0,05	—0,05	—0,05	0	+1229,7	—100,0	—100,0	—100,0	—100,0	—100,0	—100,0
—48,67	—70,75	—93,15								
+31,6	+35,8	+96,0								

кварц-серицитов фациес; 4 — аргилизит; 5 — алунит-каолинитов кварцит; 6 — алунитов

Таблица 5

Участък „Пилашево“ — 1 Изменение на химичния състав на вулканските скали при

Компо-нент	Тегловни %							Привнос —		
	1 215/288	2 170/214	3 172/221	4 176/230	5 171/219	6 166/209	7 175/229	1—2	1—3	1—4
SiO ₂	58,38	52,91	57,65	70,84	44,95	78,31	97,00	-8,6	-10,2	-8,2
TiO ₂	0,84	0,12	0,80	0,74	0,46	0,70	0,80	-1,8	-0,2	-0,7
Al ₂ O ₃	17,37	18,00	18,30	15,64	19,41	9,40	0,66	+3,3	-0,3	-13,1
Fe ₂ O ₃	4,60	3,46	6,90	1,67	0,68	5,10	0,39	-2,5	+4,8	-8,3
FeO	1,63	4,68	0,67	—	—	0,72	0,22	+8,1	-2,5	-4,1
MnO	0,07	0,21	0,06	—	0,09	—	—	+0,4	-0,3	-0,2
MgO	5,16	2,15	1,58	0,68	0,25	0,20	0,07	-7,4	-9,3	-11,7
CaO	1,86	6,90	0,95	0,30	0,17	0,70	0,10	+13,4	-2,4	-4,1
Na ₂ O	4,67	2,50	2,78	0,13	1,00	0,11	0,10	-5,2	-5,2	-11,5
K ₂ O	3,65	2,80	2,74	3,64	5,18	0,12	—	-1,9	-2,7	-2,1
P ₂ O ₅	0,45	0,48	0,47	0,40	0,12	0,10	—	+0,1	-0,02	-0,3
H ₂ O ⁻	1,12	0,34	2,00	0,91	0,21	—	0,06	-1,9	+1,9	-1,0
H ₂ O ⁺	0,48	2,59	4,75	3,94	7,70	4,18	0,55	+6,2	+10,1	+6,5
CO ₂	—	2,84	—	—	—	—	—	+7,4	—	—
SO ₃	—	—	—	0,91	19,88	—	—	—	—	+1,8
Сума	100,28	99,98	99,65	99,80	100,10	99,64	99,95	-29,3	-32,85	-65,3
								+38,9	+16,8	+8,3
Обемно тегло	2,53	2,62	2,37	1,96	2,68	2,43	2,44			

Аналитик: М. Велинова

Забележка: 1 — латит; 2 — пропилитизиран латит (серцицит-хлорит-карбонатов фациес);
диаспоров кварцит; 7 — монокварцит.

Таблица 6

Участък „Пилашево“ — 2 Изменение на химичния състав на вулканските скали при образуването

Компо-ненти	Тегловни %										
	1 255/347	2 238/324	3 211/282	4 238/326	5 125/145	6 215/289	7 209/279	8 224/372	9 210/281	10 245/336	11 125/146
SiO ₂	58,85	54,31	60,51	60,40	57,60	59,90	24,19	74,30	18,27	67,26	93,21
TiO ₂	0,71	1,18	0,75	1,15	1,05	0,78	0,70	0,85	0,81	0,59	0,59
Al ₂ O ₃	17,10	17,30	16,17	21,26	23,19	15,56	27,76	6,30	28,15	10,81	2,21
Fe ₂ O ₃	5,68	3,48	3,34	1,25	8,15	1,18	1,09	6,95	5,01	1,87	1,21
FeO	0,25	3,20	1,62	0,44	—	—	—	0,30	—	—	0,94
MnO	0,10	0,13	0,14	—	—	—	—	—	—	0,04	—
MgO	4,09	2,50	2,30	1,20	0,15	0,13	0,19	0,07	0,95	0,28	0,07
CaO	1,65	6,66	2,80	0,80	0,61	0,40	0,86	0,46	1,32	—	0,15
Na ₂ O	4,37	2,99	2,12	0,32	—	0,42	0,39	0,35	0,39	0,60	0,10
K ₂ O	3,65	3,60	4,42	6,17	0,10	2,64	6,81	0,95	6,51	2,60	0,05
P ₂ O ₅	0,53	0,51	0,44	0,05	—	0,45	1,50	0,70	1,90	0,27	0,05
H ₂ O ⁻	1,84	1,73	0,91	2,27	0,33	0,86	0,18	0,15	0,20	0,25	0,08
H ₂ O ⁺	1,25	0,38	3,26	4,30	8,63	6,75	11,13	3,90	9,07	5,00	1,25
CO ₂	—	2,07	0,90	0,18	0,15	—	—	—	—	—	—
SO ₃	—	—	—	—	—	9,79	24,79	4,89	27,04	10,39	—
S	—	—	—	0,10	0,10	—	—	—	—	—	—
F	—	—	—	—	—	—	0,17	—	0,53	—	—
Сума	100,07	100,04	99,68	99,89	100,06	99,86	99,76	100,17	100,15	99,96	99,91
Обемно тегло	2,43	2,66	2,41	1,97	2,32	2,01	2,68	2,24	2,65	2,43	2,40

Аналитик: М. Велинова

Забележка: 1 — латит; 2 — пропилитизиран латит (хлорит-карбонатов фациес); 3 — пропилитизиран
6 — алунизови кварцити; 7 — монокварцит.

образуването на вторични кварцити

износ

разлика в g			относителна разлика в %							
1—5	1—6	1—7	1	2	3	4	5	6	7	
—26,9	+43,7	+89,5	0	—5,9	—6,9	—5,5	—13,3	+29,7	+60,8	
—0,9	—0,4	—0,2	0	—85,2	—10,2	—31,4	—41,9	—19,4	—7,8	
+8,1	—20,9	—42,2	0	+7,6	—0,7	—29,9	+18,6	—47,7	—96,3	
—9,8	+0,8	—10,6	0	—21,9	+41,4	—71,7	—84,3	+7,2	—91,8	
—4,1	—2,4	—3,6	0	+198,2	—61,2	—100,0	—100,0	—57,3	—86,9	
+0,1	—0,2	—0,2	0	+211,6	—19,2	—100,0	+36,4	—100,0	—100,0	
—12,3	—12,5	—12,8	0	—56,7	—71,1	—89,7	—94,9	—96,2	—98,7	
—4,2	—3,0	—4,4	0	+285,3	—51,8	—87,4	—90,3	—63,6	—94,8	
—9,1	—11,5	—11,5	0	—44,4	—43,9	—97,8	—77,3	—97,7	—97,9	
+4,7	—8,9	—9,2	0	—20,3	—29,2	—22,4	+50,6	—96,8	—100,0	
—0,8	—0,9	—1,1	0	+10,8	—1,5	—30,8	—71,7	—78,5	—100,0	
—2,3	—2,8	—2,7	0	—68,5	+68,3	—36,7	—80,1	—100,0	—94,8	
+19,4	+9,0	+0,1	0	+460,4	+832,9	+539,0	+1602,3	+741,8	+10,9	
—	—	—	0	—	—	—	—	—	—	
+53,2	—	—	0	—	—	—	—	—	—	
—70,4	—63,5	—98,5								
+85,5	+53,5	+89,6								

3 — кварц-серийтов фациес; 4 — серийтов кварцит+алунит; 5 — алунитов кварцит; 6 —

на вторични кварцити

Привнос — износ												
абсолютна разлика в g						относителна разлика в %						
1—3	1—4	1—5	1—6	1—9	1—11	1	3	4	5	6	9	11
+3,4	—23,8	—9,3	—22,3	—94,6	+81,0	0	+2,4	—16,6	—6,5	—15,6	—66,2	+56,7
+0,1	+0,5	+0,7	—0,1	+0,4	—0,3	0	+5,2	+31,5	+41,2	—8,9	+24,3	—17,8
—2,4	+0,4	+12,2	—10,2	+33,0	—36,2	0	—5,8	+1,0	+29,5	—24,6	+79,4	—87,2
—5,7	—11,3	+5,1	—11,4	—0,5	—10,9	0	—41,4	—82,1	+37,0	—82,8	—3,9	—78,9
+3,3	+0,3	—0,6	—0,6	—0,6	+1,6	0	+545,2	+42,9	—100,0	—100,0	—100,0	+271,9
+0,1	—0,2	—0,2	—0,2	—0,2	—0,2	0	+39,4	—100,0	—100,0	—100,0	—100,0	—100,0
—4,4	—7,6	—9,6	—7,7	—7,4	—9,8	0	—44,0	—76,2	—96,5	—77,1	—74,7	—98,3
+2,8	—2,4	—2,6	—3,2	—0,5	—3,6	0	+69,0	—60,6	—64,7	—79,9	—12,8	—91,0
—5,5	—10,0	—10,6	—10,0	—9,6	—10,4	0	—51,7	—94,0	—100,0	—92,0	—90,3	—97,7
+1,8	+3,3	—8,6	—3,5	+8,4	—8,7	0	+20,6	+37,3	—97,4	—40,0	+94,3	—98,6
—0,2	—1,2	—1,3	—0,4	+3,7	—1,2	0	—17,3	—92,3	—100,0	—29,6	+290,6	—90,7
—2,3	+0,01	—3,7	—2,7	—3,9	—4,3	0	—50,8	+0,2	—82,9	—61,3	—88,2	—95,7
+4,8	+5,4	+17,0	+10,5	+21,0	—0,03	0	+159,7	+179,4	+559,2	+347,6	+690,7	—1,1
+2,2	+0,3	+0,3	—	—	—	0	—	—	—	—	—	—
—	—	—	+19,7	+71,5	—	0	—	—	—	—	—	—
—	+0,2	+0,2	—	—	—	0	—	—	—	—	—	—
—	—	—	—	+1,4	—	0	—	—	—	—	—	—
—20,5	—56,5	—46,5	—72,3	—117,3	—85,63							
+18,5	+10,41	+35,5	+30,2	+139,4	+82,6							

латит (хлорит-карбонат-серийтов фациес; 4 — кварц-серийтов фациес; 5 — каолинит-дикитов кварцит;

Таблица 7

Участък „Сусам“. Изменение на химичния състав на вулканските скали при образуването на

Компоненти	Тегловни %												
	1 56	2 6/13	3 26/50	4 15/28	5 15/29	6 16/31	7 15/26	8 3/9	9 3/5	10 10/20	11 13/25	12 4/11	13 12/24
SiO ₂	59,70	58,70	59,64	60,29	55,13	56,13	59,88	51,69	59,36	55,76	60,76	39,07	95,92
TiO ₂	0,60	0,75	0,64	0,91	0,95	0,81	0,51	0,87	0,74	0,55	0,59	0,39	0,78
Al ₂ O ₃	15,91	16,32	17,08	15,80	14,00	16,30	13,16	17,67	11,99	12,99	12,79	22,62	0,76
Fe ₂ O ₃	3,96	4,10	6,03	5,52	4,88	4,12	2,28	6,68	4,34	8,85	0,59	1,31	1,07
FeO	1,04	1,11	0,29	0,14	0,79	2,28	0,94	—	—	—	—	0,67	0,41
MnO	0,09	0,16	0,03	—	0,07	0,19	—	—	—	0,01	0,08	—	—
MgO	1,70	1,15	0,97	0,80	7,15	2,35	0,07	0,27	0,22	0,31	0,92	0,13	—
CaO	5,16	7,19	2,75	0,89	5,58	5,23	0,70	0,49	0,71	0,44	—	0,52	0,29
Na ₂ O	3,36	2,99	3,11	1,95	2,72	2,99	0,50	1,07	0,23	1,18	0,45	0,57	0,06
K ₂ O	5,29	5,88	5,39	5,85	5,85	4,89	2,78	4,53	3,18	1,82	3,86	5,95	0,05
P ₂ O ₅	0,39	0,55	0,51	0,29	0,48	0,57	0,14	0,70	0,76	0,33	0,25	0,83	—
H ₂ O	0,44	0,46	1,67	2,40	1,17	1,26	0,25	1,07	1,85	0,27	0,31	0,82	0,09
H ₂ O ⁺	1,95	0,70	1,74	5,38	1,18	1,86	16,39	6,57	5,04	6,00	6,10	8,16	0,39
CO ₂	0,09	—	—	—	—	0,72	—	—	—	—	—	—	—
SO ₃	—	—	—	—	—	—	2,23	8,34	11,31	11,53	13,10	19,14	—
S	—	—	—	—	—	—	—	—	—	—	—	—	—
F	—	—	—	—	—	—	—	—	0,18	—	—	—	—
Сума	99,68	100,06	99,85	100,25	99,95	99,70	99,83	99,95	99,91	100,04	99,80	100,18	99,76
Обемно тегло	2,30	2,10	2,34	1,90	2,34	2,50	2,45	1,81	2,03	2,72	2,39	2,28	2,58

Аналитик: М. Велинова

Забележка: 1, 2, 3 — латити; 4, 5 — шошонити; 6 — слабо пропилитизиран латит; 7 — опалит.

MgO — при пропилитизацията количеството му намалява; при прехода кварц-серицити рязко намалява — минава от инертно в напълно подвижно състояние. Във фациесите на вторичните кварцити намалява, но може да има различно поведение.

CaO — увеличава се в карбонатните фациеси на пропилитизираните латити (това вероятно се дължи на повишения μ_{CO_2}). В следващите преходи намалява, като при прехода към кварц-серицити минава в напълно подвижно състояние.

Na₂O — рязко намалява при пропилитизацията на латитите и е напълно подвижен компонент; при всички останали преходи намалява.

K₂O — минава от инертно в напълно подвижно състояние при различни преходи.

P₂O₅ — на фона на общ относителен износ от всички фациеси (най-голям за монокварцитите) количеството му се увеличава в някои случаи и най-вече при алунитовите кварцити. Обяснението може да се търси в повишенияте съдържания на P₂O₅ в алунита, с образуване на хидротермален апатит или други фосфатни или фосфосъдържащи минерали (подобни случаи отбележва Радонова, 1973), със заместването на SO₄ с PO₄ в алунита.

Метасоматичният процес е протекъл с дейното участие на летливи компоненти. Така, с изключение на диаспоровите кварцити и монокварцити, метасоматичните изменения се характеризират с растящ привнос на вода, а за алунитовите кварцити и на SO₃.

Принос — износ

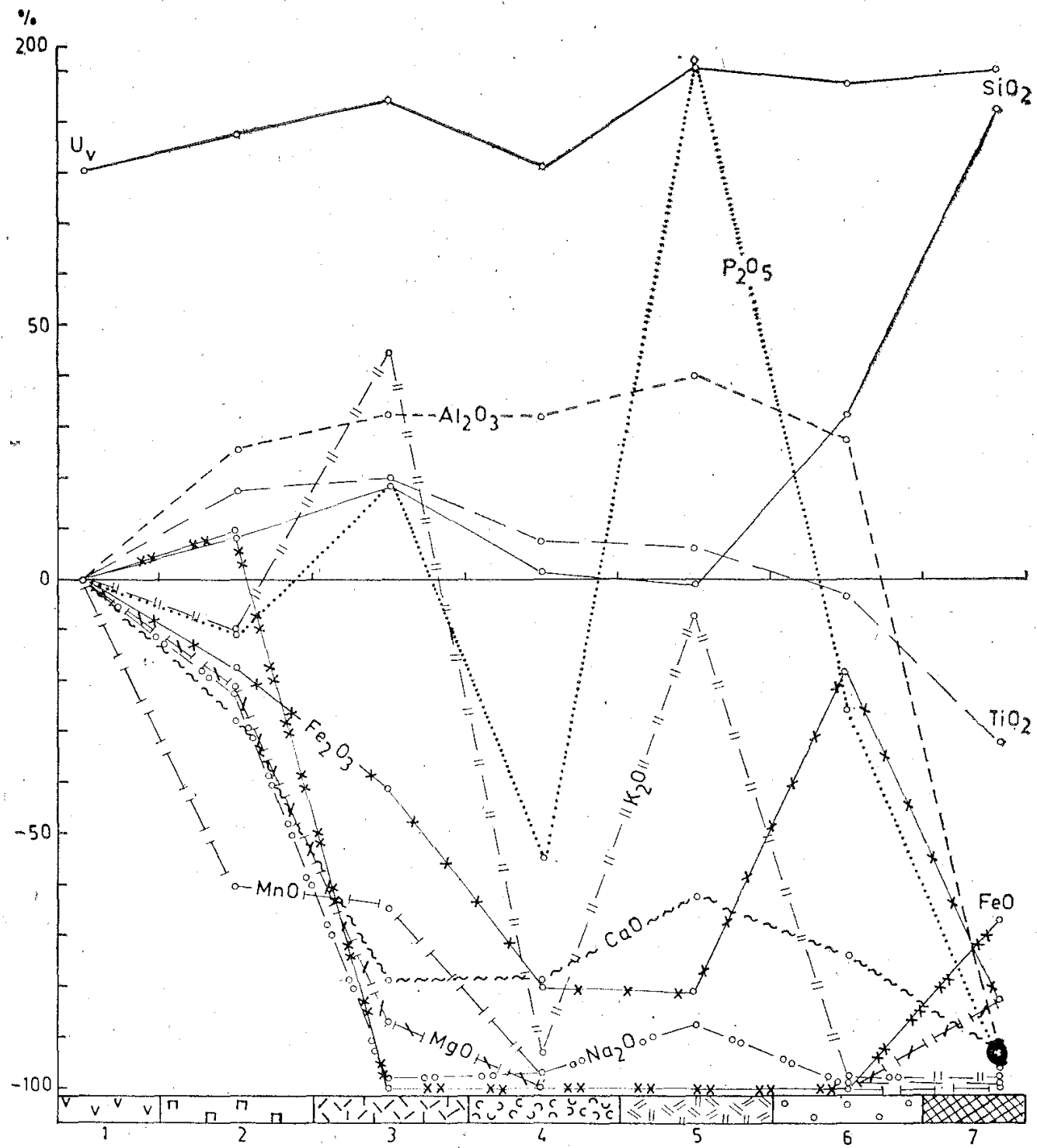
абсолютна разлика в g					относителна разлика в %						
2—6	2—7	2—11	2—12	2—13	2	6	7	11	12	13	
—17,5	+23,8	+22,3	—34,3	+124,9	0	+14,2	+19,3	+18,1	—27,8	+101,4	
+0,5	—0,3	—0,2	—0,7	+0,4	0	+29,0	—20,5	—10,2	—43,6	—28,2	
+6,6	—1,9	—3,6	+17,2	—32,3	0	+19,3	—5,7	—10,6	+50,3	—94,3	
+1,7	—3,0	—7,2	—5,6	—5,8	0	+20,1	—35,0	—83,6	—65,3	—67,8	
+3,4	—0,02	—2,3	—0,8	—1,3	0	+145,4	—1,0	—100,0	—34,5	—54,5	
+0,1	—0,3	—0,1	—0,3	—0,3	0	+41,9	—100,0	—42,9	—100,0	—100,0	
+3,5	—2,2	—0,2	—2,1	—2,4	0	+144,1	—92,9	—8,7	—87,7	—100,0	
—2,0	—13,4	—15,1	—13,9	—14,3	0	—13,1	—88,6	—100,0	—92,2	—95,0	
+1,2	—5,0	—5,2	—5,0	—6,1	0	+19,5	—80,4	—82,8	—79,3	—97,5	
—0,1	—5,5	—3,1	+1,2	—12,2	0	—0,6	—44,7	—25,1	+9,7	—98,9	
+0,3	—0,8	—0,6	+0,7	—1,1	0	+23,8	—70,2	—48,1	+63,6	—100,0	
+3,2	—0,3	—0,2	+0,9	—0,9	0	+227,3	—36,4	—23,1	+93,3	—92,0	
+1,8	+38,7	+13,1	+17,1	—0,5	0	+217,5	+2638,0	+894,3	+1164,1	—31,3	
—	—	—	—	—	0	—	—	—	—	—	
—	—	+5,5	+31,4	+43,6	—	0	—	—	—	—	
—	—	—	—	—	0	—	—	—	—	—	
—2,1	—32,72	—37,8	—62,7	—77,2							
+39,8	+68,0	+66,8	+80,7	+125,3							

аргилазит + алунит; 8, 9, 10, 11, 12 — алунитови опалити и кварцити; 13 — монокварцит.

Особености в развитието на зоналността

Метасоматичната зоналност е резултат от киселинно-алкалната еволюция на метасоматичния процес (Коржинский, 1969) и е един от неговите най-съществени признания. За да се изяснят по-пълно особеностите на процеса, е необходимо да се изучи развитието на метасоматичната колонка като цяло и се обхване целият спектър от преобразувания от неизменната изходна скала до крайните продукти на изменение в тиловите зони (Зайский и др., 1981).

Във всички участъци на Боровишкия вулкански район в развитието на метасоматитите се установява както хоризонтална, така и вертикална зоналност. Наблюдаваните различия за отделните участъци се дължат, от една страна, на различните обективни условия, а от друга — на нееднаквата възможност за проследяване (разкритост, наличие на геологопроучвателни работи). Следва да се отбележи (както това се вижда при разглеждането на метасоматичните формации и фациеси за района), че по отношение на вертикалната и хоризонталната зоналност са налице много общи белези в развитието им. Изясняването на общите тенденции и на различията е важна предпоставка при изграждането на единен модел на метасоматичните процеси в Боровишкия вулкански район. В непосредствена връзка с това и както отбелязва Русинов (1989), особено актуално е развитието на представите за вертикалната зоналност на неразкриващите се на повърхността руди на

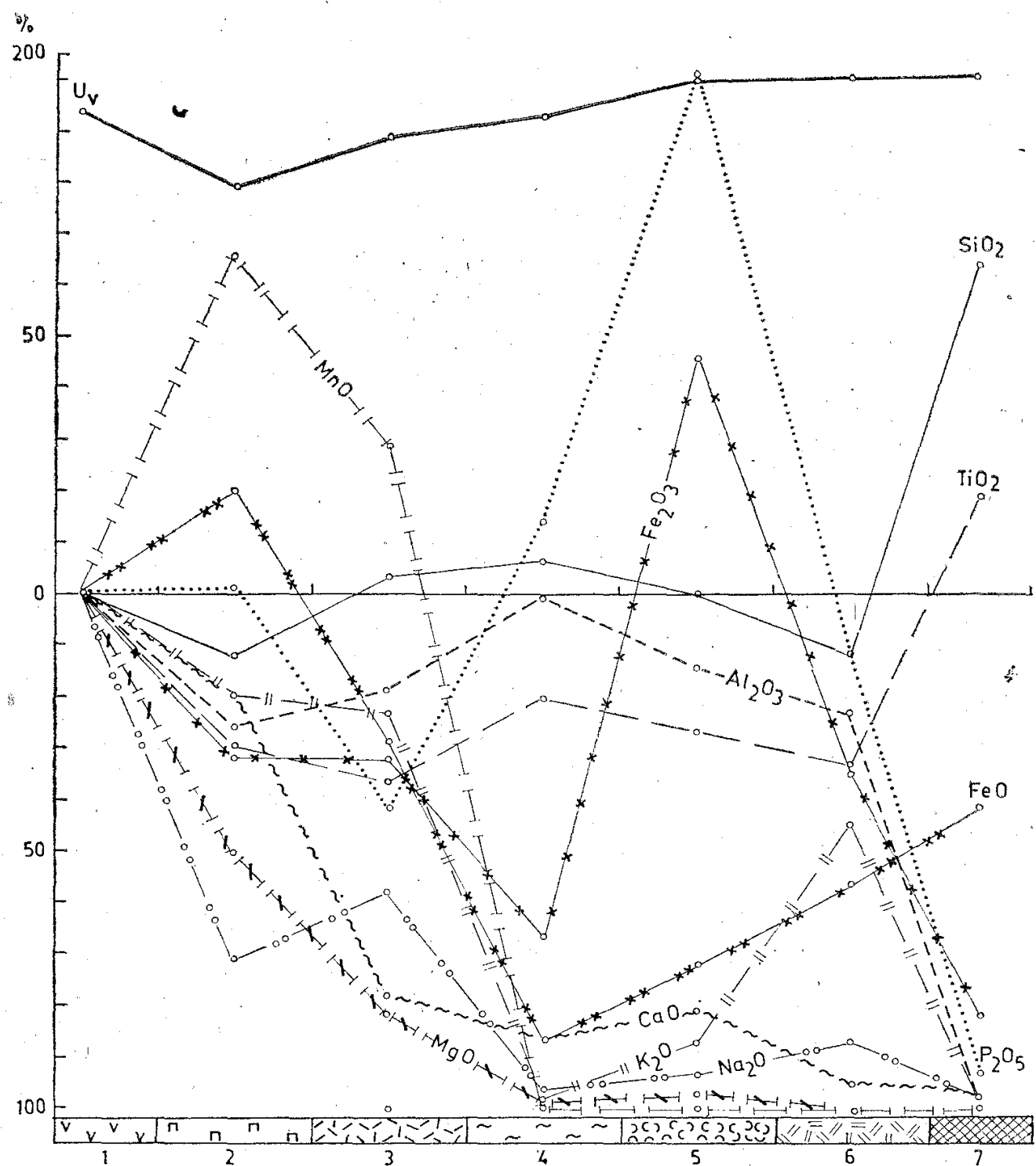


Фиг. 1. Вариационна диаграма на количествените изменения в уч. Сърница — Спахиево
 1 — слабо карбонатизиран латит; 2 — пропилитизиран латит; 3 — кварц-серицитов
 метасоматит; 4 — дикитов кварцит; 5 — алунитов кварцит; 6 — диаспоров кварцит;
 7 — монокварцит

Fig. 1. Variation diagram of the quantitative alterations in the Sarnica-Spahievo region
 1 — slightly carbonatized latite; 2 — propylitized latite; 3 — quartz-sericite metasomatite;
 4 — dickite quartzite; 5 — alunite quartzite; 6 — diasporite quartzite; 7 —
 monoquartzite

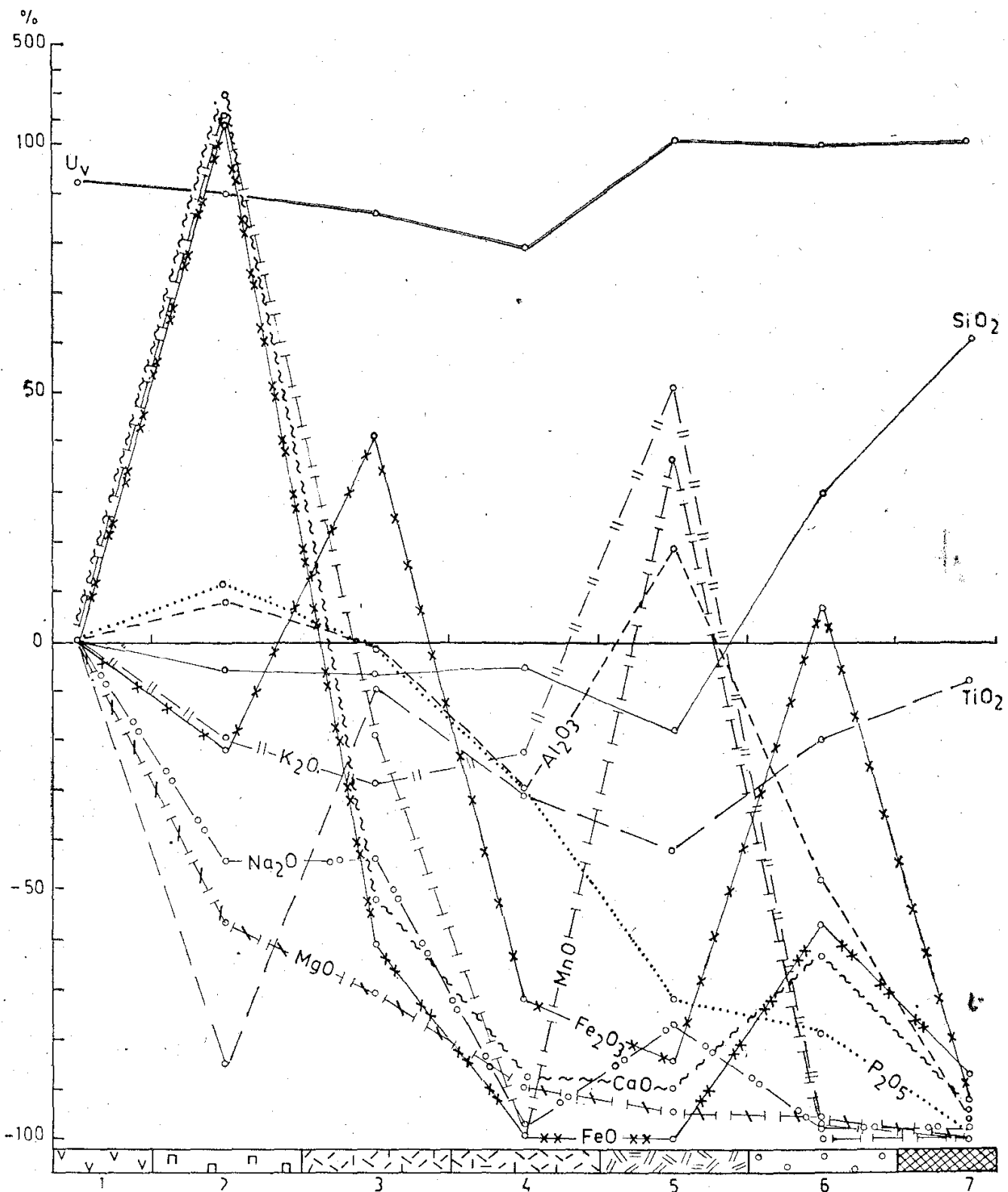
благородни и цветни метали, които изискват теоретична прогноза за търсение
 в дълбочина.

Първите данни за метасоматичната зоналност в района принадлежат на
 Радонова (1973), която по минералого-petрологки път отделя в стро-



Фиг. 2. Вариационна диаграма на количествените изменения в уч. Брястово-2
 1 — латит; 2 — пропилитизиран латит; 3 — кварт-серицитов метасоматит; 4 — аргилит; 5 — алунит-каолинитов кварцит; 6 — алунитов кварцит; 7 — монокварцит
 Fig. 2. Variation diagram of the quantitative alterations in the Brjastovo-2 region
 1 — latite; 2 — propylitized latite; 3 — quartz-sericite metasomatite; 4 — argillite;
 5 — alunite-kaolinite quartzite; 6 — alunite quartzite; 7 — monoquartzite

та последователност слабо до максимално изменени скали в Спахиевското рудно поле. Въпросът за фациалната принадлежност и зоналността на изменените скали от зоните на киселинно извлечане в Спахиевското рудно поле има своето развитие в работите на Кунов (1987) и Velinov et al. (1990), като в последната широко е използуван физикохимичен анализ



Фиг. 3. Вариационна диаграма на количествените изменения в уч. Пилашево-1

1 — латит; 2 — пропилитизиран латит; 3 — кварц-серицитов метасоматит; 4 — серицитов кварцит+алунит; 5 — алунитов кварцит; 6 — диаспоров кварцит; 7 — монокварцит

Fig. 3. Variation diagram of the quantitative alterations in the Pilachevo-1 region

1 — latite; 2 — propylitized latite; 3 — quartz-sericite metasomatite; 4 — sericite quartzite+alunite; 5 — alunite quartzite; 6 — diaspor quartzite; 7 — monoquartzite

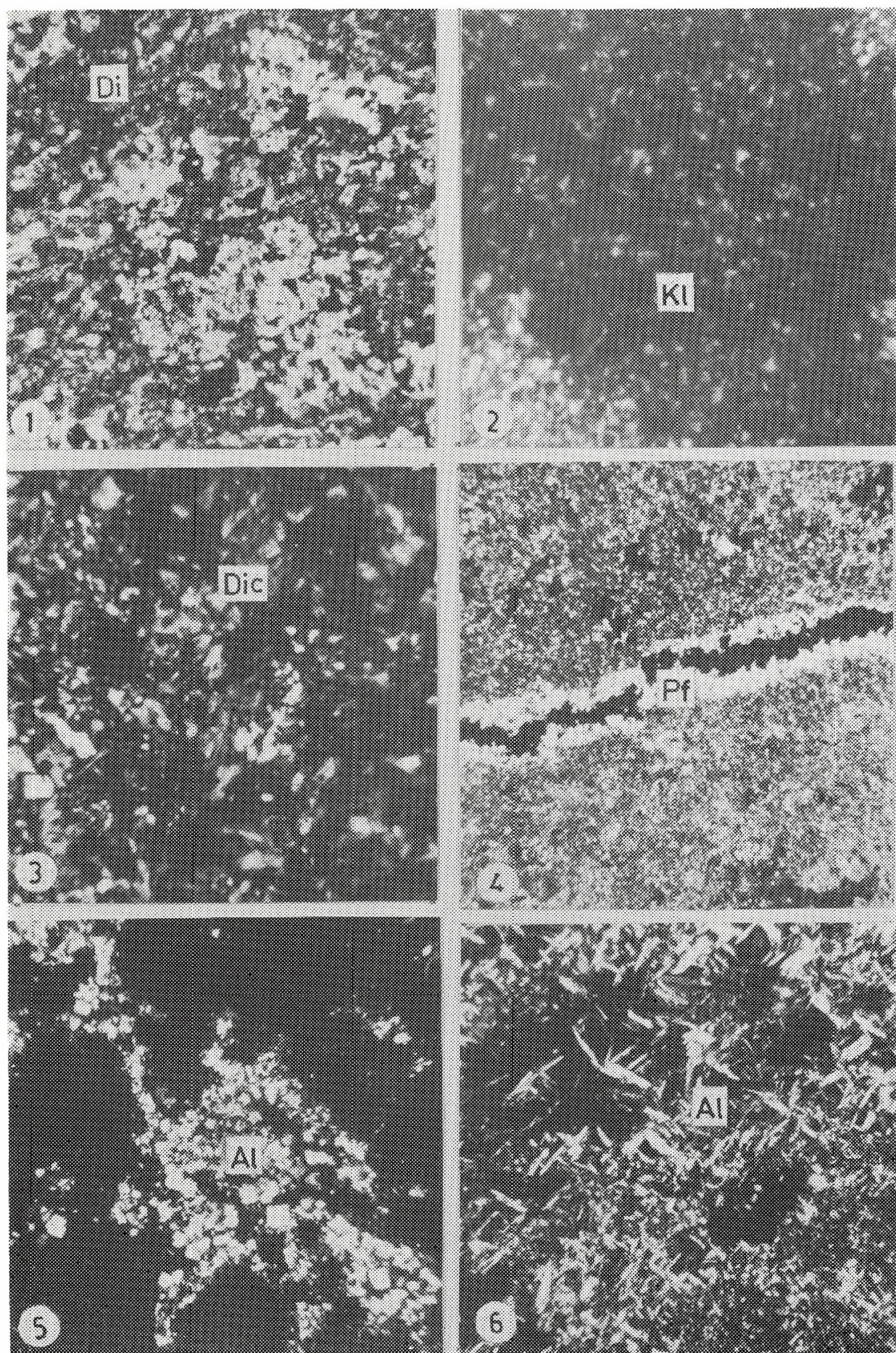


ТАБЛИЦА I

1 — диаспоров кварцит; Di — диаспор; II N, \times 75.

2 — каолинитов кварцит; KI — каолинит; + N, \times 125. 3 — дикитов кварцит; Dic — дикит; + N, \times 125. 4 — прожилка от пирофиллит (Pf) и пирит; + N, \times 75, 5 — алюнитов опалит; Al — алюнит (ромбоедричен); + N, \times 300. 6 — алюнитов кварцит; Al — алюнит (пинакоидален); + N, \times 125.

PLATE I

1 — diaspore quartzite; Di — diaspore; II N, \times 75. 2 — kaolinite quartzite; KI — kaolinite; + N, \times 125. 3 — dickite quartzite; Dic — dickite; + N, \times 125. 4 — vein of pyrophyllite (Pf) and pyrite; + N, \times 75. 5 — alunite opalite; alunite (rhombohedral); + N, \times 300. 6 — alunite quartzite; Al — alunite (pinacoidal); + N, \times 125.

Таблица 8

Участък „Светлина“. Изменение на химичния състав на вулканските скали при образуването на вторични кварцити

Компо-ненти	Тегловни %																
	1 39/90	2 12/31	3 35/84	4 36/85	5 24в	6 19/42	7 41/92	8 7/24	9 27/68	10 4/14	11 1/5	12 8/26	13 1/1	14 3/12	15 29/73	16 5/21	17 5/19
SiO ₂	59,30	61,39	60,44	58,34	64,84	68,86	61,30	46,41	72,07	46,22	57,43	46,87	31,46	92,91	95,53	97,79	97,99
TiO ₂	0,50	0,56	0,60	0,62	0,62	0,65	0,68	0,69	0,86	0,61	0,63	0,70	0,51	0,86	0,86	0,30	0,16
Al ₂ O ₃	16,93	17,96	17,82	18,13	16,56	14,75	17,57	20,75	10,22	18,40	13,70	15,88	22,08	0,68	1,02	0,51	0,51
Fe ₂ O ₃	4,50	4,51	4,97	5,51	3,53	1,02	7,67	8,24	0,45	5,19	0,76	4,97	4,17	2,84	0,44	0,05	—
FeO	0,38	0,65	0,21	0,65	0,14	—	0,43	0,22	—	0,14	—	—	—	0,10	0,68	0,18	0,09
MnO	0,08	0,10	—	0,07	0,01	—	0,01	0,03	—	—	—	0,08	—	—	—	—	—
MgO	1,70	0,77	0,55	0,75	0,79	0,08	1,42	0,46	0,22	0,16	0,10	—	0,61	0,14	0,15	—	—
CaO	4,17	3,80	3,61	4,46	0,59	0,66	0,52	0,40	0,17	0,53	0,15	0,41	0,93	0,56	0,33	0,15	0,29
Na ₂ O	3,61	3,58	3,59	3,37	1,27	0,16	0,20	1,10	0,20	0,65	0,75	0,84	0,42	—	0,05	0,10	0,10
K ₂ O	4,69	4,20	5,12	4,31	3,69	1,10	4,14	3,70	2,70	3,15	3,30	4,30	5,69	0,24	0,06	0,05	0,05
P ₂ O ₅	0,39	0,39	0,46	0,47	0,26	0,06	0,38	0,21	0,28	0,93	0,57	0,33	2,20	0,20	—	0,02	—
H ₂ O	1,45	0,71	1,45	1,47	1,56	1,18	0,68	1,98	0,29	0,75	0,45	2,15	0,98	0,15	0,10	0,09	0,06
H ₂ O ⁺	1,74	1,26	1,37	1,37	5,75	11,05	4,27	15,03	4,00	9,80	7,70	7,10	9,80	0,70	0,73	0,68	0,47
CO ₂	—	0,04	0,09	0,36	—	—	—	0,02	—	—	—	—	—	—	—	—	—
SO ₃	—	—	—	—	—	—	0,46	0,56	8,33	13,50	14,00	16,16	20,10	0,78	—	—	—
S	—	—	—	—	—	0,90	—	—	—	—	—	—	—	0,08	0,03	—	—
F	—	—	—	—	—	—	—	—	—	—	0,41	—	1,27	—	—	—	—
Сума	99,44	99,92	100,28	99,88	99,61	100,47	99,73	99,80	99,79	100,03	99,95	99,79	100,22	100,16	100,03	99,95	99,72
Обемно тегло	2,40	2,42	2,40	2,45	1,80	1,86	1,99	2,03	2,57	2,22	1,81	2,30	1,96	2,30	2,47	2,58	2,58

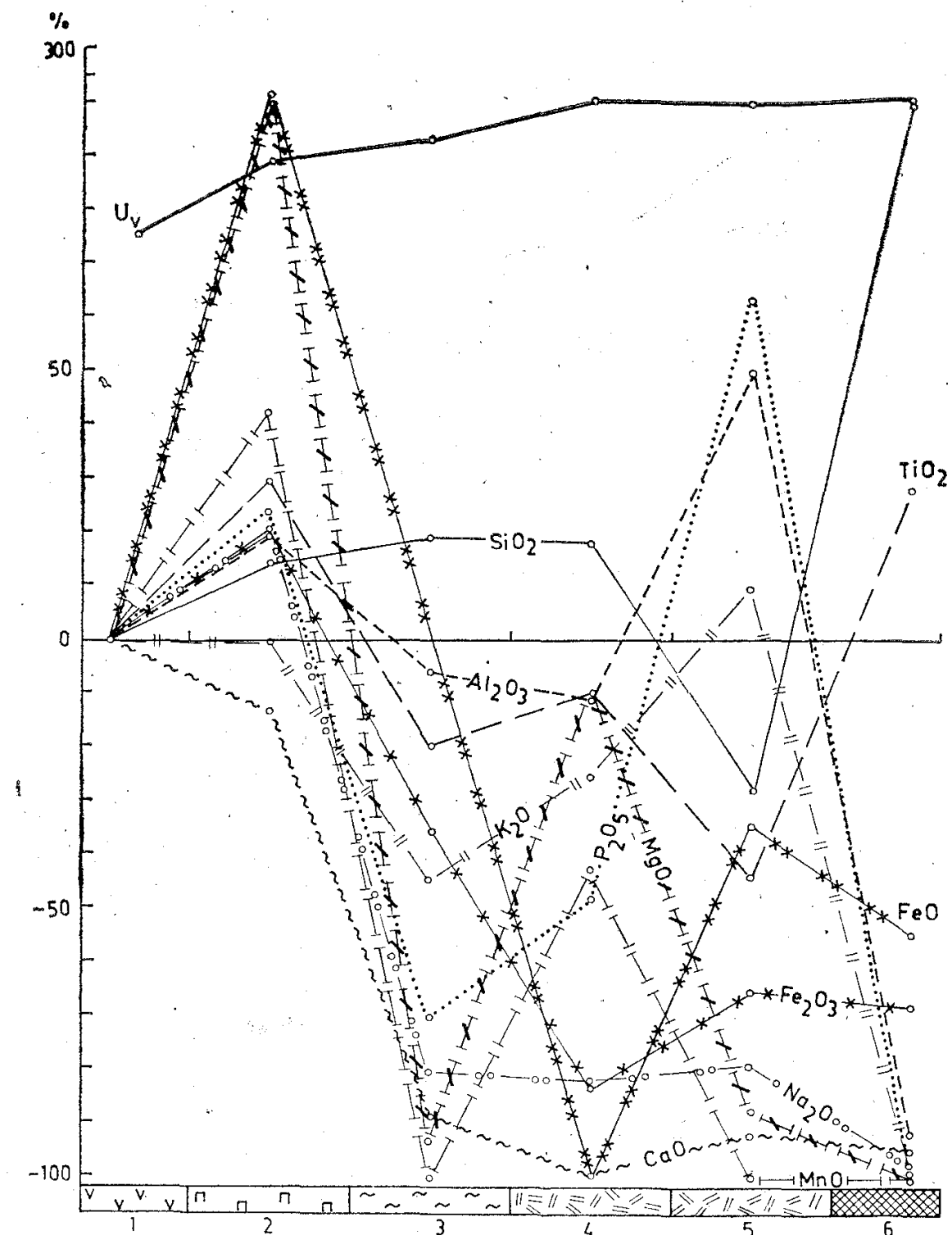
Аналитик: М. Велинова

Забележка: 1, 2, 3 — латит; 4 — слабо пропилитизиран латит (карбонатизиран, серицитизиран); 5 — кварц-хидрослюдов фаза 14 — алунитъсъдържащ кварцит; 15, 16, 17 — монокварцити.

Привнос — износ

17 5/19	абсолютна разлика в g						относителна разлика в %						
	1—4	1—5	1—8	1—12	1—13	1—16	1	4	5	8	12	13	16
97,99	-0,02	-25,9	-48,7	-35,1	-81,6	+109,6	0	-0,01	-18,1	-34,0	-24,5	-57,0	+76,6
0,16	+0,3	-0,1	+0,2	+0,4	-0,2	-0,4	0	+26,0	-7,2	+16,3	+33,7	-17,3	-35,7
0,51	+3,6	-10,9	+1,3	-4,3	+2,3	-39,5	0	+8,8	-26,8	+3,3	-10,4	+5,7	-96,8
-	+2,6	-4,5	+5,9	+0,6	-2,7	-10,7	0	+24,4	-41,3	+54,3	+5,5	-24,9	-98,8
0,09	+0,7	-0,7	-0,5	-0,9	-0,9	-0,4	0	+73,8	-72,4	-51,2	-100,0	-100,0	-49,3
-	-0,02	-0,2	-0,1	-0,01	-0,2	-0,2	0	-11,1	-90,6	-68,4	-4,5	-100,0	-100,0
-	-2,3	-2,7	-3,2	-4,1	-2,9	-4,1	0	-55,2	-65,2	-77,2	-100,0	-70,9	-100,0
0,29	+0,9	-9,0	-9,2	-9,1	-8,2	-10,0	0	+8,7	-89,4	-91,9	-90,6	-81,9	-99,2
0,10	-0,4	-6,4	-6,5	-6,8	-7,9	-8,4	0	-5,1	-73,7	-74,3	-77,8	-90,6	-97,0
0,05	-0,7	-4,6	-3,8	-1,4	-0,2	-11,2	0	-6,6	-41,1	-33,5	-12,4	-1,7	-98,9
-	+0,2	-0,5	-0,5	-0,2	+3,4	-0,9	0	+22,5	-50,1	-54,6	-19,2	+357,1	-94,5
0,06	+0,1	-0,7	+0,5	+1,5	-1,6	-3,3	0	+3,0	-19,4	+15,1	+41,6	-45,2	-93,3
0,47	-0,8	+6,2	+26,4	+12,2	+15,0	-2,4	0	-20,0	+147,4	+628,0	+289,7	+356,4	-58,1
-	+0,9	-	-0,04	-	-	-	0	-	-	-	-	-	-
-	-	-	+1,1	+37,2	+39,3	-	0	-	-	-	-	-	-
-	-	-	-	-	-	+0,1	0	-	-	-	-	-	-
-	-	-	-	-	+2,5	-	0	-	-	-	-	-	-
99,72	-4,24	-66,2	-72,55	-61,91	-106,4	-91,5							
	+9,3	+6,2	+41,34	+51,9	+62,5	+109,7							
2,58													

ов фациес; 6 — аргилизит (+ опал); 7, 8 — алунитсъдържащи аргилизити; 9, 10, 11, 12, 13 — алунитови кварцити и опалити;

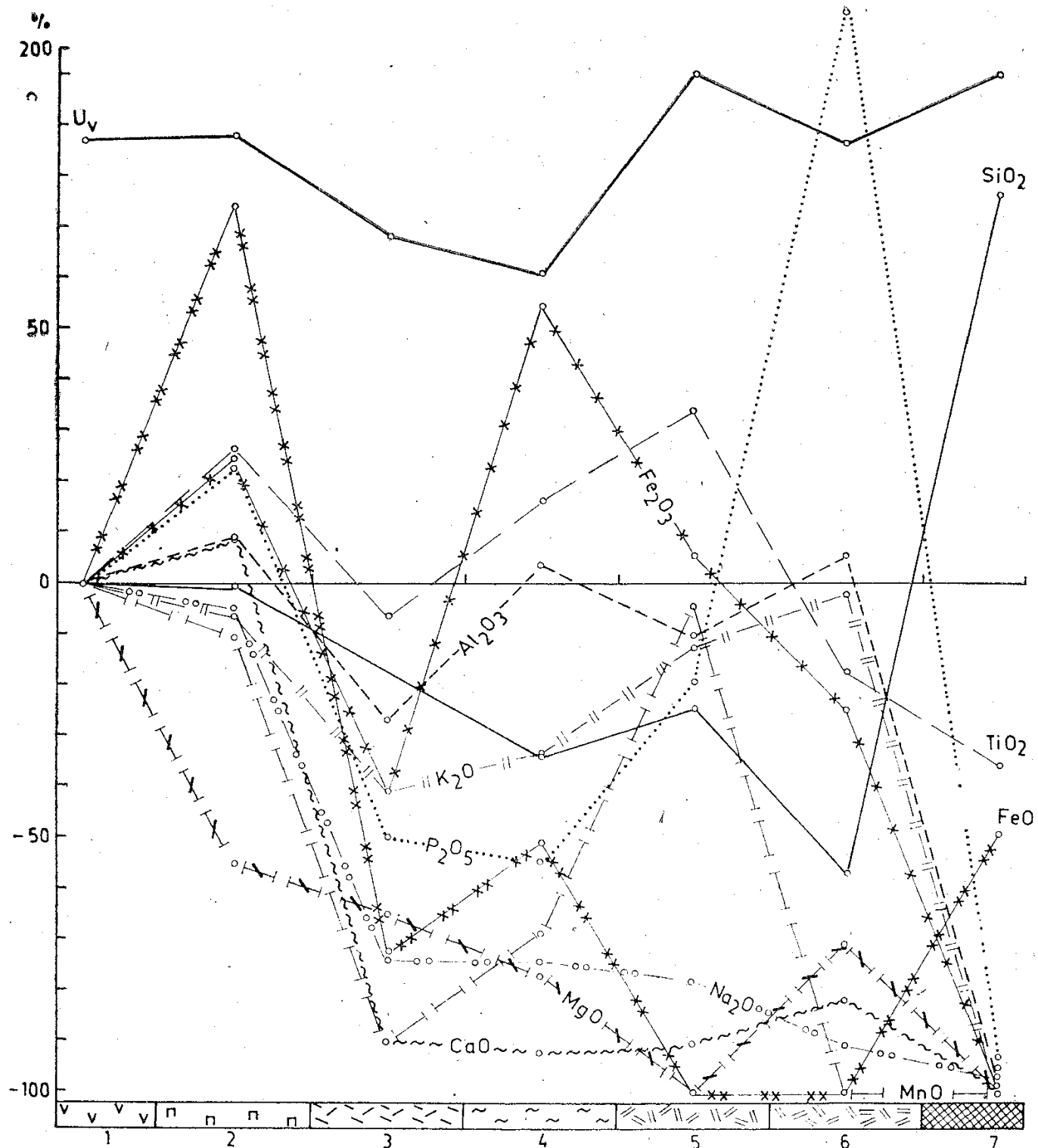


Фиг. 4. Вариационна диаграма на количествените изменения в уч. Сусам
 1 — латит; 2 — пропилитизиран латит; 3 — опалит-аргилизит; 4, 5 — алюнитови кварцити; 6 — монокварцит.

Fig. 4. Variation diagram of the quantitative alterations in the Susam region
 1 — latite; 2 — propylitized latite; 3 — opalite-argillite; 4, 5 — alunite quartzites;
 6 — monoquartzite

на минералните парагенези. Показаната метасоматична последователност и анализът на минералните парагенези (Velinov et al., 1990, фиг. 2, 4, 5), в общи линии са валидни за другите разглеждани участъци (Брястово*).

* В цитираната работа са използвани и редица данни за западния дял на участък Брястово.



Фиг. 5. Вариационна диаграма на количествените изменения в уч. Светлина
 1 — латит; 2 — пропилитизиран латит; 3 — кварц-хидрослюдов метасоматит; 4 — аргилизит; 5, 6 — алунитови кварцити; 7 — монокварцит

Fig. 5. Variation diagram of the quantitative alterations in the Svetlina region

1 — latite; 2 — propylitized latite; 3 — quartz-hydromica metasomatite; 4 — argillite; 5, 6 — alunite quartzites; 7 — monoquartzite

Пилашево, Сусам, Светлина), поради което тук те не се разглеждат и се обръща внимание само на някои особености в зоналността. На изведената единна метасоматична колонка се показва генетичното единство на метасоматитите от киселинния стадий. Важен момент е разглеждането на пропилитовия тип метасоматити, съпровождащи вторичните кварцити, като външни зони на формация вторични кварцити. Тази идеализирана колонка не включва

най-широко разпространените алунизови кварцити, а така също диаспоровите кварцити и развитието на пирофилит. Зад такова фиктивно противоречие между наблюдаваната метасоматична последователност в разглежданите обекти и идеализираната метасоматична колонка стои изискването за повишена активност на калия и сулфатните аниони при образуването на алунизовите кварцити.

Както общите белези, така и специфичните черти в метасоматичната зоналност за отделните участъци са в зависимост от геологоструктурното развитие и отразяват еволюцията на температурата и характера на разтворите. Русинов (1984) например посочва, че в съвременните геотермални области водеща роля при зоналността има температурният градиент при неизначителни локални вариации на pH на разтворите. Отсъствието на някои зони, които би трябвало да се образуват, той обяснява с крайно неравновесните условия на минералообразуване и с рязка смяна на киселинността. Прави впечатление почти резкият преход от вторични кварцити и аргилизити към неизменени или слабо изменени вулканити на места в участъците Сусам и Светлина. Слабото развитие или отсъствието на типични пропилити и прехода чрез напълно опализиран скали определя зоналността „с деградация на външните зони“ и с „развитие на метастабилен опал вместо кварц, типичен за по-дълбочинни условия“ (Русинов, 1972). Подобно на съвременните солфатарни полета това са случаи на развитие в приповърхностни условия и вероятно намаляването на дълбочинността на хидротермалния процес е причина за по-голямо отклонение от равновесието.

Една от най-съществените особености в метасоматичната зоналност във всички участъци е редовното присъствие на алунизови кварцити. Развитието на алунизовия фациес като основен показва важната роля на сернокиселите хидротермални разтвори. Наличието на флуор в алунизовите кварцити (Пилашево, Сусам, Светлина) може да се дължи на халогенсъдържащ минерал (топаз, флуорит или установения флуорсъдържащ апатит). Това показва възможността за образуването и на халогенокисели разтвори в определени моменти на хидротермалната дейност.

Друга особеност е образуването навсякъде на тилова монокварцов зона, което съгласно резултатите от моделирането (Зарaysкий, 1989) е възможно само в условията на наситеност на изходния разтвор със SiO_2 . Характерна особеност също е разнообразието на вътрешните биминерални зони и наличието на зона с епидотсъдържаща парагенеза (Velipov et al., 1990).

Изучаването на вторичните кварцити в североизточната част от периферията на Боровишския вулкански район позволява отделянето на следните основни фациални разновидности (Радонова, 1973; Кунов, 1987; Velipov et al., 1990): монокварцити, диаспорови, алунизови, дикитови и серицитови кварцити.

Известно усложняване на вертикалната зоналност се получава от образуването на серицит-пирофилитови скали с диаспор и алуни (Кунов, 1987; Velipov et al., 1990). Нееднозначното отношение на пирофилита с диаспора, алуни и серицита затруднява фациалната характеристика. Едно телескопиране изглежда твърде вероятно и би могло да се обясни с разломяване и действието на сравнително по-високотемпературни хидротерми. Някои нови данни подсказват двукратно развитие на пирофилит и принадлежност или към формацията на вторичните кварцити, или към епитетермалните предрудни аргилизити.

Литература

- Аверьянов, И. 1965. Об алюните измененных пород хребта Вернадского на острове Парамушир (Курильские острова). — Геол. рудн. местор., 7, № 2, 102—106.
- Алуниты Закарпатья. 1971. М., Недра, 176 с.
- Асланян, С., И. Велинов, М. Велинова. 1976. Генетические типы алюнитов и экспериментальные условия их синтезирования. — Геохим., минерал. и петрол., 5, 144—155.
- Велинов, И. 1967. Пропилити и алунитови кварцити в района на Брезник. — Геохим., минерал. и петрол., 16, 205—220.
- Дир, У., Р. Хаум, Дж. Зусман. 1966. Породообразующие минералы. М., Мир, 3, 141 с.
- Зарайский, Г. 1989. Зональность и условия образования метасоматических пород. М., Наука, 344 с.
- Зарайский, Г., Ю. Шаповалов, О. Беляевская. 1981. Экспериментальное исследование кислотного метасоматоза. М., Наука, 218 с.
- Знаменский, В. 1983. Закономерности строения, состава и генезиса пирит-серно-алунитовых руд Камчатки и Курильских островов. — В: Геология и генезис важнейших эндогенных неметаллических ископаемых, М., Наука, 198—242.
- Казицын, Ю., В. Рудник. 1968. Руководство к расчету баланса вещества и внутренний энергии при формировании метасоматических пород. М., Недра, 364 с.
- Кашкай, Ч. 1972. Физико-химические условия алунитообразования. Баку, Элм, 64—67.
- Коржинский, Д. С. 1969. Теория метасоматической зональности. М., Наука, 112 с.
- Кунов, А. 1987. Минералогия и зоналност на вторичните кварцити от североизточната част на периферията на Боровишката вулканотектонска депресия. — Канд. дис., С., 220 с.
- Набоков, С. 1963. Гидротермальный метаморфизм пород в вулканических областях. М., Наука, 172 с.
- Наковник, Н. 1958. Определение количественного изменения вещества при гидротермальном метаморфизме. — Зап. Всесоюз. минер. об-ва, 87, № 4, 401—417.
- Наковник, Н. 1964. Вторичные кварциты СССР и связанные с ними месторождения полезных ископаемых. М., Недра, 338 с.
- Омельяненко, Б., И. Воловикова, В. Дриц, Б. Звягин, О. Андреева, В. Сахаров. 1986. Положение серицита в ряду диоктаедрических слюд. — Кристаллохимия минералов, 13 Конгр. ММА, Варна 1982, С., БАН, 385—394.
- Радонова, Т. 1966. Зоналност на хидротермалните метаморфити и мястото на алунитовите кварцити в тях при с. Полинци, Панагюрско. — Изв. Геол. инст., сер. геохим., минерал. и петрogr., 15, 129—143.
- Радонова, Т. 1968. Дицит от вторичните кварцити на Централната и Западна част на Средногорската зона. — Изв. Геол. инст., сер. геохим., минерал. и петрogr., 17.
- Радонова, Т. 1969. Зональность пропилитов и вторичных кварцитов Красен-Петлевской зоны Панагюрского района. — Геол. рудн. местор., 11, № 2, 53—63.
- Радонова, Т. 1972. Алунит от вторичните кварцити на Спахиевското рудно поле. — Изв. Геол. инст., сер. геохим., минерал. петрogr., 21, 85—96.
- Радонова, Т. 1973. Хидротермални изменения на скалите в Спахиевското рудно поле. — Изв. Геол. инст., сер. геохим., минерал. и петрogr., 22, 141—161.
- Радонова, Т., Д. Стефанов. 1974. Пирофилит от медното находище Асарел, Панагюрско. — В: Минерогенезис, С., БАН 219—227.
- Рашков, Р. 1962. Диаспорови вторични кварцити в землището на с. Спахиево, Хасковско. — Сп. Бълг. геол. д-во, 23, № 3, 263—274.
- Русинов, В. 1972. Геологические и физико-химические закономерности пропилитизации. М., Наука, 202 с.
- Русинов, В. 1984. Условия проявления вертикальной метасоматической зональности. — В: Метасоматизм и рудообразование, М., Наука, 247—256.
- Русинов, В. 1989. Метасоматические процессы в вулканических толщах. М., Наука, 214 с.
- Gout, R., R. Jaubertie. 1976. Sur deux variétés de diasporé. — C. R. Acad. Sci., 282, № 19, 1697—1700.
- Selected powder diffraction data for minerals. 1974. Philadelphia.
- Velinov, I., M. Kapazirski, A. Kunov. 1990. Formational nature and physicochemical conditions of formation of metasomatites in the Spahievo ore field (Eastern Rhodopes, Bulgaria). — Geol. Balk., 20 № 4, 49—62.